

участок на кривой $C_F(d_p)$). Аналогичное поведение сопротивления клина в дозвуковом потоке газовзвеси обнаружено в экспериментах [11].

Исследовалось влияние отраженных частиц на величину возмущения угла наклона ударной волны. На фиг. 5 показаны результаты расчетов величины $\tilde{\theta}$ в зависимости от расстояния до носика клина. Сплошные линии соответствуют зеркальному отражению, штриховые — прилипанию частиц. Расчеты выполнены при $Re_0 = 10$, $Pr = 0,65$, $c_p/c_s = 0,46$; кривые 1 — $\alpha = 15^\circ$, $M_\infty = 1,7$; 2 — $\alpha = 30^\circ$, $M_\infty = 2,6$. Из фиг. 5 видно, что у носика клина (при $x \approx l_p(1)$) неравновесность течения в присутствии отраженных частиц усиливается, однако при малых углах раствора клина эффект незначительный. На большом удалении от носика клина оба сравниваемых течения приходят к одному состоянию, что непосредственно следует из асимптотических формул (3.2).

ЛИТЕРАТУРА

- Черный Г. Г. Течение газа с большой сверхзвуковой скоростью. М.: Физматгиз, 1959.
- Лунев В. В. Обтекание клина гиперзвуковым потоком излучающего газа. — ПМТФ, 1960, № 2.
- Ткаленко Р. А. К линейной теории сверхзвуковых течений смеси газа и частиц. — Изв. АН СССР. МЖГ, 1971, № 1.
- Салтанов Г. А., Ткаленко Р. А. Обтекание клина сверхзвуковым двухфазным потоком. — Изв. АН СССР. МЖГ, 1972, № 2.
- Салтанов Г. А., Куршаков А. В. Движение частиц за косым скачком уплотнения при обтекании клина сверхзвуковым двухфазным потоком. — Изв. АН СССР. Энергетика и трансп., 1971, № 4.
- Салтанов Г. А. Взаимодействие частиц с поверхностью обтекаемого клина. — Изв. АН СССР. — Там же.
- Трунев А. И., Фомин В. М. Обтекание тел двухфазным потоком типа газ — твердые частицы с учетом эрозии. — ПМТФ, 1983, № 1.
- Crowe C. T., Pratt D. T. Analysis of the flow field in cyclon separators. — Computers and Fluids, 1974, v. 2, p. 249.
- Яненко Н. Н., Солоухин Р. И., Папырин А. П., Фомин В. М. Сверхзвуковые двухфазные течения в условиях скоростной неравновесности частиц. Новосибирск: Наука, 1980.
- Овсянников Л. В. Групповой анализ дифференциальных уравнений. М.: Наука, 1979.
- Баланин Б. А., Лашков В. А. Сопротивление плоского клина в двухфазном потоке. — Изв. АН СССР. МЖГ, 1982, № 2.

Поступила 19/III 1984 г.

УДК 532.5 + 533.95

О ГИДРОДИНАМИЧЕСКОЙ НЕУСТОЙЧИВОСТИ ФРОНТА АБЛЯЦИИ ПРИ АБЛЯЦИОННОМ УСКОРЕНИИ СЛОЯ

H. A. Иногамов

(Москва)

1. К настоящему времени опубликовано значительное число работ, посвященных неустойчивости фронта абляции (ФА) при ускорении слоя абляционным давлением [1—13]. В [4, 5] численно исследуется задача Коши, линеаризованная около нестационарного течения, которое находится численным расчетом, в [6, 7] — численный расчет задачи Коши, линеаризованной около стационарного течения. Стационарное решение находится численным интегрированием системы обыкновенных дифференциальных уравнений. По поводу работ [6, 7] необходимо существенное замечание. Покажем, что имеется одна особенность стационарного решения в поле тяжести, которая делает непригодными результаты [6, 7], относящиеся к учету сжимаемости холодного вещества и длинноволновым возмущениям. Рассмотрим стационарное решение в области, заполненной холодным веществом. В этой области в окрестности ФА течение дозвуковое ($M \ll 1$). При наличии силы тяжести число Маха $M = v/c$ в дозвуковом течении монотонно возрастает при удалении от ФА в холодное вещество и на некотором расстоянии L_1 от ФА $M = 1$. Дело в том, что в холодном веществе электронная теплопроводность мала и соответственно пренебрежимо малы тепловые потоки. Поэтому стационарное течение холодного вещества является изэнтропическим. При дозвуковом в окрестности ФА течении с $M \ll 1$ из-за действия веса давление в хо-

лодном веществе падает при удалении от ФА. Течение изэнтропическое, поэтому вместе с давлением падают плотность и скорость звука. Скорость потока v при этом возрастает, поскольку требуется постоянство потока массы, соответственно растет и $M = v/c$. Появление в стационарном течении внутренней сверхзвуковой зоны не отвечает сути задачи об ускорении слоя аблационным давлением. Поэтому результаты [6, 7] годятся только при $\lambda \ll L_1$. При $\lambda \simeq L_1$ влияние сжимаемости холодного вещества становится существенным, но в рамках [6, 7] это влияние учитывается неверно. Вопрос о сжимаемости и длинноволновых возмущениях подробно разобран в данной работе.

Кроме перечисленных выше работ, в которых исследуется линейная стадия, имеются интересные работы [7—9] о расчетах нелинейных двумерных течений; [1, 2, 10—12] посвящены аналитическим оценкам. В [10, 11] предполагается, что дозвуковой ФА можно заменить скачком в волне дефлаграции. Работа [12] основана на исследовании неустойчивой зоны, в которой векторы ∇p и $\nabla \rho$ антипараллельны. Считается, что растущие возмущения пространственно локализованы в этой зоне. Заметим, что в обычных [3, 14] условиях ($I \simeq 10^{14} \text{ Вт}/\text{см}^2$, Nd-лазер, толщина слоя $L = 1—4 \text{ мкм}$) толщина Δ_1 этой зоны мала ($\Delta_1 \simeq 0,1 \text{ мкм}$). Растущие возмущения могут иметь $\lambda \gg \gg \Delta_1$. При этом поле возмущений пространственно локализовано в приграничном к ФА слое толщиной $\simeq \lambda \gg \Delta_1$. В этом случае тонкая структура и наличие неустойчивой зоны не имеют значения, поскольку для таких волн тонкая структура «спрятана» внутри толщины линии, связанной с толщиной «грифеля карандаша», которым очерчена возмущенная граница.

В [1] получена оценка коротковолнового масштаба стабилизации $\lambda_a = v_a^2/g \simeq M_a^2 L$, где $M_a = v_a/c_s$, v_a — скорость ФА относительно холодного вещества, индекс a означает аблацию, c_s — скорость звука в холодном веществе в окрестности ФА, g — ускорение слоя.

В [2] разобрано влияние сжимаемости. Показано, что при типичном большом отношении плотностей на ФА дисперсионная кривая в случае изэнтропического газа совпадает с дисперсионной кривой в случае несжимаемой жидкости при произвольном отношении параметра $v_\lambda^2/c_s^2 \simeq \lambda/L$, где $v_\lambda = \sqrt{|g| \lambda}$.

Данная работа представляет собой развитие и более строгое обоснование результатов [1, 2], посвященных влиянию аблации и сжимаемости на развитие рэлей-тейлоровской неустойчивости (РТН), в ней выявлены параметры, определяющие характер неустойчивости (I, L, λ), и область значений параметров I, L, λ , внутри которой задача может быть описана на модели слоя, ограниченного непроницаемыми, изобарическими (свободными) граничными условиями. В этой области неустойчивость ускоренного ФА является РТН. Единственные осложнения здесь связаны с учетом сжимаемости и многослойности. Модель с изобарическими и слабопроницаемыми границами использовалась и раньше. Например, в задаче о неустойчивости она применена в [15]. Цель данной работы — выяснение границ применимости модели.

Скажем несколько слов о приложениях. В приложениях (см., например, [3]) рассматривают оболочки, которые необходимы для переработки возможно большой доли поглощенной энергии в кинетическую энергию движения оболочки и затем в мягкой рекуперации кинетической энергии, запасенной в оболочке, во внутреннюю энергию газа, содержащегося внутри оболочки. Хорошо известно [3], что для эффективной рекуперации необходимо применять возможно более тонкие и массивные оболочки и осуществлять ускорение оболочки в существенно дозвуковых режимах аблации. Соответствующие условия имеют вид

$$(1.1) \quad L \ll R;$$

$$(1.2) \quad \rho_f \ll \rho_s;$$

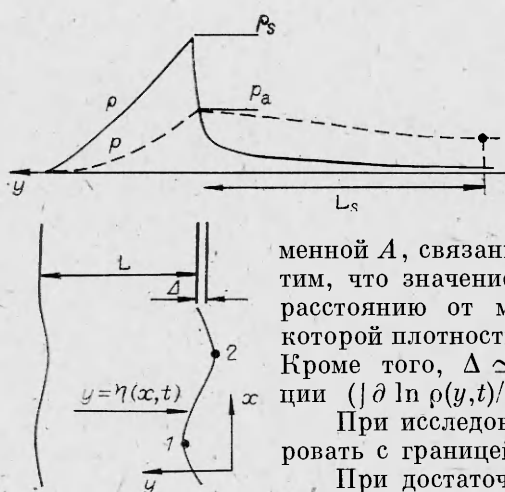
$$(1.3) \quad v_a \ll c_s,$$

где R — радиус оболочки; ρ_s, ρ_f — плотности холодного вещества в окрестности ФА и внутреннего газа.

Именно в связи с требованиями (1.1)–(1.3) возникает острая проблема гидродинамической неустойчивости. Действительно, при сохранении (1.3) в толстой ($L \gtrsim R$) или слабо выраженной ($\rho_f \lesssim \rho_s$) оболочке этот вопрос теряет остроту. Вопрос о неустойчивости снимается также в случае сверхзвукового режима распространения электронной тепловой волны по веществу оболочки, когда $v_a \gtrsim c_s$.

Неустойчивость связана или с ФА и развивается на стадии нагона оболочки к центру, или с внутренней границей оболочки и развивается на стадии торможения. Что касается стадии торможения, то здесь классическая РТ постановка с непроницаемой границей не вызывает возражений. В дальнейшем обсуждается только неустойчивость на стадии нагона.

Если ограничиться случаем $\lambda \ll R$, то можно пренебречь кривизной оболочки, при этом задача о неустойчивости оболочки эквивалентна задаче о неустойчивости плоского слоя. Возмущения с $L \ll \lambda \simeq R$ можно эффективно исследовать в приближении жидкой пленки [16].



2. Качественный анализ.
Ограничимся случаем $\lambda > \Delta$. Здесь и далее Δ — расстояние от точки, в которой достигается значение $A = 1,1$, до точки, в которой $A = 10^\Gamma$, где Γ — показатель адиабаты, определение безразмерной переменной A , связанной с энтропией, дано ниже. Отметим, что значение Δ по порядку величины равно расстоянию от максимума плотности до точки, в которой плотность падает до $\rho = \rho_s/10$ (см. фигуру).

Кроме того, $\Delta \approx$ максимальному значению функции $(|\partial \ln \rho(y, t)/\partial y|)^{-1}$.

При исследовании мод с $\lambda > \Delta$ можно оперировать с границей слоя $y = \eta(x, t)$ (см. фигуру).

При достаточно резком «включении» абляционного давления первоначально неподвижное вещество приводится в движение ударной волной постоянной интенсивности. При этом [14, 17, 18] распределение энтропии в холодном веществе в слое близко к однородному, оно остается однородным и в процессе ускорения слоя, поскольку ударные волны в слое при неизменном абляционном давлении p_a не возникают, а электронная теплопроводность в холодном веществе мала и соответственно пренебрежимо малы тепловые потоки, так что течение холодного вещества можно считать адиабатическим. Рост энтропии в жидкой частице начинается при пересечении ее поверхности ФА.

Для определения поверхности ФА, которую будем называть границей слоя, рассмотрим систему мгновенных изэнтропических линий: $S = \text{const} = AS_0$, где энтропией называется величина $S = \rho \rho^{-\Gamma}$, A — безразмерная переменная, S_0 — значение энтропии в холодном веществе. Изэнтропические линии, соответствующие значениям $A > 1$, проведенные с некоторым шагом $\Delta A > 0$, сгущаются в слое толщиной порядка Δ . В качестве поверхности ФА выберем некоторую изэнтропическую линию с $A = A_*$ ($1,1 < A_* < 10^\Gamma$), попадающую в это сгущение.

Забегая вперед, приведем сначала окончательные результаты, полученные с помощью качественного анализа. При фиксированной частоте излучения параметрами, определяющими характер неустойчивости, являются I , L , λ . Область применимости модели в пространстве (I, L, λ) имеет вид

$$(2.1) \quad I_L(L) \ll I < I_U;$$

$$(2.2) \quad \lambda_{\min} < \lambda \ll L_s(I).$$

Число Маха в короне монотонно возрастает при удалении от ФА в глубь короны. Будем обозначать через L_s расстояние от ФА до звуковой поверхности, на которой $M = 1$ (индекс s означает звуковой). Величина L_s зависит при фиксированной частоте излучения только от интенсивности I : $L_s = L_s(I)$. Обозначим через $I = I_L(z)$ функцию, обратную к монотонной функции $z = L_s(I)$. Функция $I_L(z)$ — монотонно растущая функция z . Из сказанного относительно функций $I_L(L)$ и $L_s(I)$ следует, что ограничения $I_L(L) \ll I$ и $L \ll L_s(I)$ эквивалентны. Таким образом, ограничение $I_L(L) \ll I$ интенсивности снизу (индекс L означает нижний) показывает, что модель применима, если ускоряемый холодный слой тонок по сравнению с толщиной дозвуковой «подушки» L_s . Кроме того, как будет показано ниже, модель применима, если $\lambda \ll L_s(I)$.

Ограничение $I < I_U$ интенсивности сверху (индекс U означает верхний) некоторой не зависящей от L и λ постоянной I_U следует из того условия, что движение ФА по холодному веществу должно быть дозвуковым.

А именно $v_a(I)$ должно быть $< c_s(I)$, где $c_s(I) = \sqrt{\Gamma p_a(I)/\rho_s}$ — скорость звука в холодном веществе в окрестности ФА, p_a — абляционное давление. В противном случае неустойчивость ФА будет подавлена. Скорость абляции $v_a(I)$ растет с I быстрее, чем $c_s(I)$, поэтому функция $M_a(I) = v_a/c_s$ монотонно возрастает с I и существует такое значение интенсивности I_U , при котором достигается значение $M_a(I_U) = 1$.

Нижний край $\lambda_{min} <$ или \simeq наибольшему значению из пары величин Δ , λ_a , где $\Delta = \Delta(I)$, $\lambda_a = \lambda_a(I, L) = v_a^2/|g| = (\Gamma - 1) M_a^2 L$. То, что функция $\lambda_a(I, L)$, определяющая границу области применимости модели по мелкомасштабным модам, равна $v_a^2/|g|$, вытекает из гипотезы 2 (формула (2.4)) и условия (2.7), при выполнении которого границу слоя можно считать непроницаемой.

Заметим, что если значения I, L принадлежат проекции области применимости модели на плоскость (I, L) , то из условий (2.1), (2.2) следует, что мода $\lambda \simeq L$ принадлежит области применимости модели. Действительно, пусть I, L принадлежат проекции. Это означает, что выполняются два ограничения: $L \ll L_s$ и $v_a \ll c_s$, из которых вытекает, что, во-первых, $\lambda \ll L_s$, поскольку $\lambda \simeq L \ll L_s$, и, во-вторых, $\lambda > \lambda_{min}$. Последнее условие $\lambda > \lambda_{min}$ получается следующим образом. Имеем $L > \lambda_{min}$. В самом деле, $L > \Delta$ и $L > \lambda_a = (\Gamma - 1) M_a^2 L$ при $M_a < 1$ (обычно $M_a \ll 1$), а значит, и $\lambda \simeq L > \lambda_{min}$.

В связи с приложениями [3] рассматривают $I \simeq 10^{14}$ Вт/см², Nd-лазер. При этом [3,14] $v_a = (0,1-0,3) c_s$, $L_s = 20-30$ мкм, $\Delta \simeq 0,1$ мкм, $L = 1-4$ мкм. Как видим, при этих значениях I, L условия (2.1) выполняются.

Качественный анализ, приводящий к (2.1), (2.2), опирается на два утверждения.

Утверждение 1 о «мгновенности» отклика. В системе координат, связанной с невозмущенным движением слоя (невозмущенное холодное вещество движется как целое [14, 17, 18]), перемещения границы происходят со скоростью $\simeq v_a$ или в области применимости модели со скоростью $\simeq v_\lambda = \sqrt{|g|\lambda}$. Обе эти скорости малы по сравнению с характерным масштабом скоростей в короне. На этом основании можно сделать утверждение о «мгновенности» отклика короны по p_a и v_a на текущую форму границы. Быстрота отклика связана с большой по сравнению с короной механической и тепловой инерцией слоя, обусловленной большой плотностью холодного вещества, его низкой теплопроводностью и большой теплоемкостью, отнесенной к единице объема.

В соответствии с этим утверждением p_a и v_a — некоторые функционалы от η (но не от $\partial\eta/\partial t$). Представим η в гармоническом виде $\eta = \eta_0 + \delta\eta \sin kx$. В дальнейшем будем оперировать с малой амплитудой $\delta\eta$. При этом имеем $p_a = p_{a0} + \delta p_a \sin kx$, $v_a = v_{a0} + \delta v_a \sin kx$ (фазы совпадают, так как нет осцилляционных эффектов), $\delta p_a = G_d \delta\eta$, $\delta v_a = G_k \delta\eta$. Здесь $\delta\eta = (\eta_1 - \eta_2)/2$; $\delta p_a = (p_{a1} - p_{a2})/2$; $\delta v_a = (v_{a1} - v_{a2})/2$; индексы 0, 1, 2 при η, p_a, v_a относятся соответственно к невозмущенному состоянию, впадине и выпуклости границы по отношению к слою (см. фигуру). Отклики G_k и G_d (назовем их «кинематический» и «динамический») требуются для того, чтобы оценить нарушения степени непроницаемости (см. гипотезу 2) и степени изобаричности (см. гипотезу 1) на границе холодного вещества.

Утверждение 2 заключается в следующем. Устройство короны в случае не слишком тонкого слоя с $L > L_{min} \simeq 0,3$ мкм не зависит от L . Соответственно из функций $p_a(I)$, $v_a(I)$, $L_s(I)$, $c_s(I)$, $G_d(\lambda, I)$, $G_k(\lambda, I)$ выпадает зависимость от L .

Значит, оценку G_d и G_k можно вести для $L = \infty$.

Результаты (2.1), (2.2) вытекают из двух гипотез.

Гипотеза 1. Интересующие нас моды локализованы около ФА в слое, толщина которого по порядку величины равна λ . При $\lambda \ll L_s$,

когда локализация возмущений в глубь короны ограничена существенно дозвуковым участком короны, грубая (по-видимому, с запасом) оценка сверху амплитуды отклика по давлению имеет вид

$$(2.3) \quad |\delta p_a| / \delta \eta = |G_d| < p_a / L_s.$$

Гипотеза 2. Нетрудно видеть, что «кинематический» отклик $G_k < 0$, поскольку с выпуклости ФА через единицу поверхности ФА проходит в единицу времени больше холодного вещества, чем со впадины ФА (см. фигуру, впадины и выпуклости по отношению к холодному веществу обозначены цифрами 1 и 2 соответственно), и может быть оценен следующим образом:

$$(2.4) \quad (-G_k) < v_a / \lambda \text{ или } (-G_k) \simeq v_a / \lambda,$$

поскольку обратное неравенство $(-G_k) \gg v_a / \lambda$ представляется при $\lambda > \Delta$ невозможным. Чтобы выявить суть гипотезы 2, рассмотрим возмущения ФА с немалой амплитудой $2\delta\eta = \eta_1 - \eta_2 \simeq \lambda$. Оценка G_k по порядку величины для этого случая пригодна, разумеется, и при $\delta\eta \ll \lambda$. Гипотеза 2, по существу, вытекает из утверждения о том, что скорость v_a , равная нормальной по отношению к поверхности ФА компоненте скорости холодного вещества, с которой жидкость частица холодного вещества приближается к ФА, определяется в основном интенсивностью I . Последнее означает, что в случае возмущенной («холмистой») поверхности ФА скорость v_a , хотя и разная в разных точках поверхности ФА, все же по порядку величины по-прежнему, как и в невозмущенном случае, определяется величиной I , т. е. и при $\delta\eta \simeq \lambda$ будет выполняться оценка $v_{a1} \simeq v_{a2} \simeq v_{a0}$. Вот на этом утверждении и основана гипотеза 2.

Для дальнейшего потребуется формула, связывающая g и L . Из уравнения гидростатики и условия непрерывности давления на ФА $p_s = p_a$ имеем

$$(2.5) \quad |g| = \frac{\Gamma p_a}{(\Gamma - 1) \rho_s L} = \frac{c_s^2}{(\Gamma - 1) L}.$$

Численный коэффициент в (2.5) получен для изэнтропического слоя и при условии $p = 0$ на тыльной стороне.

Распределение давления будем считать изобарическим, если

$$(2.6) \quad |G_d| \ll \rho_s |g| = \Gamma p_a / [(\Gamma - 1)L].$$

Условия (2.3), (2.6) можно преобразовать к виду $L \ll L_s$. Отсюда следует левая часть (2.1) и правая (2.2).

Граница считается непроницаемой, если

$$(2.7) \quad -G_k \ll v_\lambda / \lambda, \quad v_\lambda = \sqrt{|g|\lambda}.$$

Комбинируя (2.4), (2.7), получим, что при $\lambda > \lambda_a$ $v_\lambda > v_a >$ или $\simeq G_k \lambda$, где λ_a дается формулой $\lambda_a = v_a^2 / |g|$. Условие $\lambda > \lambda_a$ при $\lambda_a > \Delta$ дает левую часть (2.2).

Остается рассмотреть случай с $\lambda_a \ll \Delta$. При этом $v_a \ll \sqrt{\Delta |g|}$, $\gamma_*^{-1} \ll \Delta / v_a$ и можно пренебречь абляционным движением. Таким образом, приходим к исследованной (см., например, [19]) задаче о РТН в статическом слое с конечным градиентом плотности. В этом случае инкременты всех возможных РТ мод ограничены сверху значением $\simeq \gamma_*$, где $\gamma_* = \sqrt{|g| / \Delta}$ — «инкремент» Брента — Вайсяля.

На нелинейной стадии развития неустойчивости в области применимости модели следует сравнивать темп потери массы слоем $\sigma_\lambda = \rho_s v_\lambda$ из-за РТН и темп абляционных потерь $\sigma_a = \rho_s v_a$. Известно [20], что $v_\lambda' = Fr \sqrt{|g|\lambda}$, где число Фруда $Fr = 0,23 - 0,40$. Значение 0,23 получается для плоского течения в виде валов, значение 0,40 соответствует квадратной решетке. В результате приходим к большему, чем λ_a ,

масштабу $\lambda_a' = (\text{Fr})^{-2} \lambda_a$. В диапазоне $\lambda_a < \lambda < \lambda_a'$, по-видимому, может устанавливаться нелинейное, квазистационарное течение. Такое течение наблюдалось в [7].

Исследование отклика по ρ_a приводит к выводу, что при $L \simeq L_s$ модель неприменима. Вывод о том, что в случае толстой дозвуковой «поп-дышки» $L \ll L_s$ для возмущений с $\lambda <$ или $\simeq L$ будет иметь место изобаричность, представляется достаточно убедительным. В пользу этого свидетельствует также двумерный расчет в [7], в котором для значений, удовлетворяющих условиям $L \ll L_s$, $v_a \ll c_s$, получена картина течения, типичная для РТН.

3. Изобарическая РТ мода. Рассмотрим случай наиболее опасных возмущений с $\lambda \simeq L$. Если значения I, L принадлежат проекции области, то моды $\lambda \simeq L$, как было показано в п. 2, попадают в область применимости модели. Из (2.5) получаем $v_\lambda^2/c_s^2 = (\lambda/L)(\Gamma - 1)^{-1}$. Значит, при $\lambda \simeq L$ необходимо учитывать сжимаемость холодного вещества. Кроме того, в приложениях интересуются многослойным случаем.

Можно показать, что движение

$$(3.1) \quad z = \zeta + A \exp(ik\zeta^* + \gamma t), \quad \gamma^2 = -k|g|, \\ p = -|g| \int_{y_1}^{b=b(x,y,t)} \rho(y_1) dy_1$$

представляет собой точное решение линеаризованных уравнений газодинамики в произвольно слоистой сжимаемой жидкости при произвольном значении параметра λ/L . Соответствующее движение является движением с «вмороженными» изобарами, при котором значения давления сохраняются в жидких частицах. Из этого свойства следует, что (3.1) удовлетворяет свободным граничным условиям. В формулах (3.1) использованы обозначения:

$$(3.2) \quad z = x + iy, \quad \zeta = a + ib, \quad \zeta^* = a - ib, \\ b = y - |A| \exp(ky + \gamma t) \sin(kx + \delta), \quad A = |A| e^{i\delta}$$

(x, y — эйлеровы, a, b — лагранжиевы координаты, $\rho(y)$ — ход плотности в невозмущенной жидкости, ось y направлена против вектора g . Изобарические затухающую и растущую рэлей-тейлоровские моды получаем при $k < 0$, две изобарические гравитационные волны — при $k > 0$. Выражение для $b = b(x, y, t)$ в (3.2) приводится для $k < 0$, когда значения γ действительны).

В частном случае однородной, несжимаемой жидкости решение с $\gamma^2 = -k|g|$ найдено в [21]. В [2, 22] показано, что при $\gamma^2 = -k|g|$ моды существуют в плоском изэнтропическом слое. В [22] доказано, что мода с инкрементом $\gamma = \sqrt{-k|g|}$ ($k < 0$) является в изэнтропическом слое единственной растущей модой. В [23] результат [21] распространен на слоистую несжимаемую жидкость. В данной работе подчеркнуто, что решение обладает изобарическим свойством и пригодно в произвольно слоистой сжимаемой жидкости.

Изобарическая мода решает вопрос о многослойности и сжимаемости в задаче о прорыве слоя. Дело в том, что эта мода имеет максимальный инкремент в множестве всех возможных РТ мод. Следовательно, прорыв происходит именно из-за развития моды с $\gamma = \sqrt{-k|g|}$ ($k < 0$). Время существования слоя определяется спектром начальных возмущений [24] и толщиной слоя. Выраженная слоистость уменьшает время существования, поскольку при фиксированной полной толщине уменьшается эффективная толщина, равная толщине наиболее плотной прослойки, содержащей долю $\simeq 1$ от полной массы слоя.

В случае двух неподвижных газов с одинаковыми показателями адиабаты можно, действуя методами, описанными в [2], вычислить (вычисление громоздкое и здесь не приводится) поправку к изобарической мо-

де, связанную с конечной величиной отношения плотностей газов на контактной границе. Дисперсионная кривая имеет вид

$$\gamma^2 = k |g| - \frac{\mu |s|}{L} \cdot \frac{(\beta + 1) e^{2kL}}{F(\beta + 1, \beta + 2, 2kL)} + O(\mu^2),$$

где L — толщина верхнего слоя; $\mu = \rho_n / \rho_b < 1$; ρ_n, ρ_b — соответственно плотности нижнего и верхнего газов на контактной границе; $\beta = (\Gamma - 1)^{-1}$; $F(\alpha, \beta, z)$ — вырожденная гипергеометрическая функция.

В заключение автор благодарит С. И. Анисимова за постоянное внимание к работе.

ЛИТЕРАТУРА

1. Анисимов С. И., Иванов М. Ф., Иногамов Н. А. Процессы сжатия и нагрева в лазерных мишениях. Препринт Ин-та теор. физики им. Ландау АН СССР. Черноголовка, 1977.
2. Иногамов Н. А. О неустойчивости Рэлея — Тейлора в сжимаемой среде. Препринт Ин-та теор. физики им. Ландау АН СССР. Черноголовка, 1980.
3. Прохоров А. М., Анисимов С. И., Пашинин П. П. Лазерный термоядерный синтез.— УФН, 1976, т. 119, вып. 3.
4. Henderson D. B., McCrory R. L., Morse R. L. Ablation stability of laser-driven implosions.— Phys. Rev. Lett., 1974, v. 33, N 4.
5. Shian I. N., Goldman E. B., Weng C. I. A linear symmetry and stability analysis of laser-driven implosions.— Phys. Rev. Lett., 1974, v. 32, N 7.
6. Bruckner K. A., Jorna S., Landa R. Hydrodynamic stability of a laser-driven plasma.— Phys. Fluids, 1974, v. 17, N 8.
7. McCrory R. L., Montierth L. et al. Taylor instability in fusion targets.— Phys. Rev. Lett., 1981, v. 46, N 5.
8. Боков Н. Н., Бунатян А. А. и др. Развитие возмущений при сжатии оболочки лазерным излучением.— Письма в ЖЭТФ, 1977, т. 26, № 9.
9. Emery M. H., Gardner J. H., Boris J. P. The Rayleigh — Taylor and Kelvin — Helmholtz instabilities in targets accelerated by laser ablation. NRL Memorandum Report 4626, 1981.
10. Bodner S. E. Rayleigh — Taylor instability and laser-pellet fusion.— Phys. Rev. Lett., 1974, v. 33, N 13.
11. Baker L. Analytic theory of ablation layer instability.— Phys. Fluids, 1983, v. 26, N 3.
12. Афанасьев Ю. В., Басов Н. Г. и др. Симметрия и устойчивость сжатия лазерных термоядерных мишеней.— Письма в ЖЭТФ, 1976, т. 23, № 11.
13. Иногамов Н. А. Неустойчивость фронта абляции при ускорении слоя абляционных давления.— Письма в ЖТФ, 1983, т. 9, № 18.
14. Анисимов С. И., Иванов М. Ф. и др. Численное моделирование процессов лазерного сжатия и нагрева простых оболочечных мишеней.— Физика плазмы, 1977, т. 3, № 4.
15. Анисимов С. И., Иногамов Н. А. Развитие неустойчивости и потеря симметрии при изэнтропическом сжатии сферической капли.— Письма в ЖЭТФ, 1974, т. 20, № 3.
16. Иногамов Н. А. Модельный анализ тейлоровской неустойчивости оболочек.— Письма в ЖТФ, 1977, т. 3, № 7.
17. Анисимов С. И., Иногамов Н. А. Сингулярные автомодельные режимы сверхплотного сжатия лазерных мишеней.— ПМТФ, 1980, № 4.
18. Иногамов Н. А., Анисимов С. И. Автомодельные кумулятивные течения плазмы.— Письма в ЖТФ, 1977, т. 3, вып. 24.
19. Ии Чиа-шун. Волновые движения в слоистых жидкостях.— В кн.: Нелинейные волны. М.: Мир, 1977.
20. Биркгоф Г., Сарантонелло Э. Струи, следы и каверны. М.: Мир, 1964.
21. Taylor G. I. The instability of liquid surfaces when accelerated in a direction perpendicular to their planes.— Proc. Roy. Soc. London, 1950, v. A201, p. 192.
22. Иногамов Н. А. Тейлоровская неустойчивость плоского изэнтропического слоя, ограниченного изобарическими границами.— Изв. АН СССР. МЖГ, 1984, № 1.
23. Mikaelian K. O. Normal modes and symmetries of the Rayleigh — Taylor instability in stratified fluids.— Phys. Rev. Lett., 1982, v. 48, N 19.
24. Иногамов Н. А. Турбулентная стадия тейлоровской неустойчивости.— Письма в ЖТФ, 1978, т. 4, № 12.

Поступила 15/VI 1984 г.